

بِسْمِ اللّٰهِ الرَّحْمٰنِ الرَّحِيْمِ



پترولوزی و ژئوشیمی توده گرانیتوئیدی جنوب غرب میامی

دانشجو: زهرا عابدی

استاد راهنما

دکتر حسین مهدیزاده

اساتید مشاور

دکتر محمود صادقیان

دکتر فرج ا... فردوست

پایان نامه جهت اخذ درجه کارشناسی ارشد در رشته زمین شناسی
(گرایش پترولوزی)

تیر ماه ۸۸

دانشگاه صنعتی شاهرود

دانشکده علوم زمین

گروه پترولوزی و زمین شناسی اقتصادی

پایان نامه کارشناسی ارشد خانم زهرا عابدی

تحت عنوان:

پترولوزی و ژئوشیمی توده های گرانیت‌وئیدی جنوب غرب میامی

در تاریخ ۸۸/۴/۱۷ توسط کمیته تخصصی زیر جهت اخذ مدرک کارشناسی ارشد پترولوزی

مورد ارزیابی و با درجه بسیار خوب مورد پذیرش قرار گرفت.

امضاء	اساتید مشاور:	امضاء	اساتید راهنما:
	نام و نام خانوادگی : دکتر محمود صادقیان		نام و نام خانوادگی : دکتر حسین مهدیزاده
	نام و نام خانوادگی : دکتر فرج ا... فردوست		نام و نام خانوادگی :

امضاء	نماينده تحصيلات تكميلي	امضاء	اساتيد داور:
	نام و نام خانوادگی : دکتر بهناز دهر آزما		نام و نام خانوادگی : دکتر حبیب ا... قاسمی
			نام و نام خانوادگی : دکتر قاسم قربانی
			نام و نام خانوادگی :
			نام و نام خانوادگی :

تّقدیم به

پدر و مادر بزرگوارم

۶

آنان که آموختن بی وجودشان میسر نبود

تشکر و قدردانی

شکر و سپاس خدای را که با آفرینش گیتی گوشه‌ای از عظمت و کرامت خویش را نمایان ساخت و با آفرینش انسان و دمیدن ذره‌ای از نور معرفت خویش در وجود او زمینه را برای درک بزرگواری و کرامتش فراهم نمود. اکنون که به یاری خداوند متعال این مجموعه به انجام رسیده است، لازم می‌دانم سپاس فراوان خود را خدمت بزرگوارانی که به هر نحو در به ثمر رسیدن آن مرا یاری نمودند، ابراز دارم.

در ابتدا از استاد راهنمای ارجمند آقای دکتر حسین مهدیزاده به خاطر راهنمایی‌های ارزنده ایشان سپاسگزارم. از استاد مشاور محترم آقای دکتر محمود صادقیان به جهت همفکری‌های سودمند و دلسوزانه و نیز سعه صدر و بزرگواریشان قدردانی می‌نمایم. از آقایان دکتر فردوست و دکتر طاهری نیز به دلیل مشاوره و نظرات گرانقدر ایشان در تدوین این مجموعه تشکر می‌کنم.
از جناب آقای دکتر قاسمی و سایر اساتید محترمی که در طی ۷ سال تحصیل در دانشگاه صنعتی شاهroud از محضر ایشان بهره بردم، بی‌نهایت سپاسگزارم.

همچنین از آقای روح... سیری و همکاران محترم ایشان در شرکت مهد زمین شاهوار شاهroud به خاطر تهیه مقاطع نازک و نیز کارکنان شرکت مواد معدنی - طیف کانسaran بینالود مشهد که زحمت پودر کردن نمونه‌ها و ارسال آنها جهت انجام آنالیز شیمیایی را متحمل شدند، سپاسگزارم.
از مساعدت و تلاش مسئولین محترم دانشکده علوم زمین و امور اداری و مالی دانشگاه صنعتی شاهroud در فراهم نمودن امکانات لازم تشکر می‌کنم.

همچنین از دوستان بزرگوارم الهام السادات موسوی شاهroudی، خدیجه جمشیدی، نرجس دهنوی و آقایان علی تنها، علی صادقی و محمد حسین خواجه زاده که در مراحل مختلف عملیات صحرابی و تکمیل این پایان نامه مرا همراهی کردند، قدردانی نموده و از درگاه ایزد منان سعادت و سربلندی آنان را خواهانم.

اقرارنامه و واگذاری حقوق

اینجانب زهرا عابدی دانشجوی کارشناسی ارشد زمین شناسی (گرایش پترولوزی) تأیید می‌نمایم که مطالب مندرج در این پایان نامه نتیجه تحقیقات خودم بوده و در مواردی که از نتایج تحقیقات دیگران استفاده گردید، مرجع آن ذکر شده است. کلیه حقوق مادی مترتب از نتایج مطالعات، آزمایشات و نوآوری ناشی از تحقیق موضوع این پایان نامه متعلق به دانشگاه صنعتی شهرورد می‌باشد.

زهرا عابدی
تیر ماه ۱۳۸۸

چکیده

منطقه مورد مطالعه به مساحت حدود ۹۰ کیلومتر مربع در ۳ کیلومتری جنوب غرب میامی (۶۰ کیلومتری شرق شهر) در استان سمنان و در زون ایران مرکزی قرار دارد.

با توجه به مطالعات صحرایی، پتروگرافی و ژئوشیمیایی سنگهای گرانیتوئیدی منطقه جنوب غرب میامی، سنگهای منطقه شامل چهار دسته آلکالی فلدسپار گرانیت، سینیو تا مونزوگرانیت، گرانودیوریت و دایکهای میکرودیوریتی می‌باشد. برخی از سنگهای گرانیتوئیدی مورد مطالعه دچار دگرشکلی شده و فابریکهای ساب ماقمایی نشان می‌دهند. این ریز ساختها شامل شکستگی‌های پر شده از کوارتز و فلدسپات بوده و در مراحل پایانی تبلور ماقما، در حضور مذاب باقیمانده ایجاد شده و نشانه دگرشکلی دمای بالا می‌باشد. در حاشیه جنوبی توده گرانیتوئیدی نیز، سنگها دگرشکلی یافته و میلونیتی شده‌اند.

روندهای تغییرات اکسیدهای عناصر اصلی و کمیاب نمونه‌های مورد مطالعه، نشانگر وجود وقفه‌های ترکیبی بین گروههای سنگی منطقه و احتمالاً منشاء مجزای این سنگها است. نمونه‌های مورد مطالعه، از عناصر Rb,Th,U,Pb,K غنی‌شدگی نشان می‌دهند. نمودارهای REE بهنجار شده کندریتی با غنی‌شدگی از عناصر کمیاب خاکی سبک در مقایسه با عناصر کمیاب خاکی سنگین مشخص می‌شوند. مقادیر بالای Rb,Th,K و مقادیر پایین Nb,P,Sr,Ti نشان می‌دهد که ماقما به وسیله مواد پوسته‌ای آلایش یافته است و نیز ممکن است با ماقماتیسم مرتبط با زون فرورانش باشد.

از نظر خصوصیات ژئوشیمیایی، این سنگها پرآلومین تا اندرکی متاآلومین، از نوع I و S و متعلق به سری کالکوآلکالن پتاسیم بالا هستند. فراوانی عناصر ناسازگار و آنومالی منفی Eu نشان می‌دهد که گرانیتوئیدهای میامی از ذوب بخشی پوسته زیرین منشأ گرفته‌اند. در این حالت، مذاب حاصل از ذوب ورقه اقیانوسی در پوسته زیرین جایگزین و گرمای لازم برای ذوب بخشی پوسته را فراهم می‌کند.

ماگمای حاصل از ذوب بخشی پوسته زیرین، متحمل تفرقی شده و سنگهای گرانیتوئیدی فلسيک منطقه(گرانیتها و آلكالی گرانیتها) را تشکيل داده است. سنگهای مافیک منطقه(دایکهای میکرودیوریتی و گرانودیوریتی) احتمالاً از ماگمای حاصل از ذوب بخشی ورقه اقیانوسی و گوه گوشتهای بالای آن تشکيل شده‌اند.

نمودارهای تمایزی محیط تکتونیکی نشان می‌دهند که این توده به محیط‌های قوس قاره‌ای تعلق دارند و احتمالاً طی فاز کوهزایی سیمرین میانی، فرورانش ورقه اقیانوسی نئوتیس به زیر ورقه قاره‌ای ایران مرکزی به تشکيل ماگماهای آندزیتی کالکوآلکالن منجر شده است. سپس این ماگماها در پوسته زیرین جایگزین شده و در نتیجه ذوب بخشی آن، ماگماهای گرانیتی با ماهیت پرآلومین ایجاد کرده است. در ادامه تبلور تفرقی این ماگما باعث تشکيل سنگهای گرانیتی شده است. سپس در نتیجه چرخش خرد قاره ایران مرکزی، در جهت خلاف عقربه ساعت و پیامدهای تکتونیکی بعدی به محل کنونی تغییر مکان داده‌اند.

کلمات کلیدی: پترولوژی، ژئوشیمی، توده گرانیتوئیدی، میامی، شاهروд.

مقاله استخراج شده از پایان نامه:

پترولوزی و ژئوشیمی سنگهای گرانیتوئیدی جنوب غرب میامی(شرق شاهرود)، دوازدهمین همایش
انجمن زمین‌شناسی ایران، بخش مقالات پوستری، اهواز، ۱۳۸۷

عنوان	صفحه	فهرست مطالب
چکیده	ز	
فصل اول - کلیات		
۱-۱ - مقدمه	۲	
۱-۲ - موقعیت جغرافیایی و راههای ارتباطی	۲	
۱-۳- آب و هوا و جغرافیای انسانی	۳	
۱-۴- ژئومورفولوژی	۶	
۱-۵- مطالعات قبلی	۶	
۱-۶- هدف کلی از مطالعه	۸	
۱-۷- روش‌های مطالعاتی	۸	
فصل دوم - زمین‌شناسی عمومی منطقه		
۲-۱ - مقدمه	۱۰	
۲-۲ - دوره ژوراسیک در ایران مرکزی	۱۰	
۲-۲-۱ - گروه شمشک و گروه مگو در ایران مرکزی	۱۰	
۲-۲-۲ - ماگماتیسم ژوراسیک در ایران مرکزی	۱۱	
۲-۳-۱ - پیکرهای سنگی اصلی منطقه میامی	۱۵	
۲-۳-۲ - سنگهای دگرگونی پرکامبرین	۱۶	
۲-۳-۳-۱ - پیکرهای رسوی	۱۹	
الف - واحدهای رسوی معادل شمشک	۱۹	
ب - واحد کنگلومرایی معادل قاعده سازند سنگستان	۲۱	
ج - واحدهای رسوی کرتاسه	۲۵	
د - آبرفت‌های کواترنری	۲۶	
۲-۳-۳-۲ - پیکرهای آذرین	۲۸	
- گرانیتوئیدهای جنوب غرب میامی	۲۸	
- زون میلونیتی حاشیه توده گرانیتوئیدی	۳۰	
- توده گرانودیوریتی غرب قدس	۳۴	
- توده نیمه عمیق داسیتی	۳۵	
۴-۲ - زمین‌شناسی ساختمانی و تکتونیک	۳۶	
۴-۲-۱ - گسل‌ها	۳۸	
الف - گسل میامی	۳۸	
ب - گسل‌های سکون و شیرمار	۳۸	
۲-۴-۲ - چین‌ها	۳۹	
۲-۵ - خلاصه مطالعه فصل دوم	۴۰	

صفحة	فهرست مطالب	عنوان
	فصل سوم - پتروگرافی توده‌های گرانیت‌وئیدی جنوب غرب میامی	
۴۳ ۱-۳- مقدمه	
۴۳ ۲-۳- آلکالی فلدسپار گرانیت‌ها	
۴۴ ۱-۲-۳- کانی‌های اصلی	
۴۸ ۲-۲-۳- کانی‌های فرعی	
۴۸ ۳-۲-۳- کانی‌های ثانویه	
۵۰ ۳-۳- سیینو تا مونزو گرانیتها	
۵۱ ۱-۳-۳- کانی‌های اصلی	
۵۳ ۲-۳-۳- کانی‌های فرعی	
۵۶ ۳-۳-۳- کانی‌های ثانویه	
۵۷ ۴-۳- گرانودیوریت‌ها	
۵۷ ۱-۴-۳- کانی‌های اصلی	
۶۰ ۲-۴-۳- کانی‌های فرعی	
۶۰ ۳-۴-۳- کانی‌های ثانویه	
۶۱ ۵-۳- دایک‌ها	
۶۲ ۶- ۳- میلونیتها	
۶۵ ۷-۳- خلاصه مطالب فصل سوم	
۶۸ ۱-۴- مقدمه	
۶۸ ۲-۴- نگاهی اجمالی به انواع فابریک‌ها یا ساختهای میکروسکوپی	
۶۸ ۱-۲-۴- فابریک‌ها یا ساختهای ماگمایی	
۶۹ ۲-۲-۴- فابریک‌ها یا ساختهای ساب ماگمایی	
۷۰ ۴-۲-۳- فابریک‌ها یا ساختهای میکروسکوپی ساب سولیدوس حالت جامد	
۷۳ ۴-۳- انواع ساختهای میکروسکوپی در گرانیت‌وئیدهای منطقه	
۷۶ ۴-۴- شواهد دگرشكلي در کانی‌های مختلف	
۷۶ ۱-۴-۴- دگرشكلي بيوتیت	
۷۶ ۲-۴-۴- دگرشكلي پلازیوکلاز	
۷۷ ۴-۳-۴- دگرشكلي فلدسپات آلکالن	
۷۸ ۴-۴-۴- دگرشكلي کوارتز	
۸۰ ۵-۴- خلاصه مطالب فصل چهارم	
	فصل پنجم - ژئوشیمی و پترولولژی	
۸۳ ۱-۵- ژئوشیمی	
۸۵ ۲-۵- رده‌بندی سنگ‌های منطقه بر اساس نتایج تجزیه شیمیایی	
۸۵ ۱-۲-۵- طبقه‌بندی بر اساس ترکیب نورماتیو	
۹۰ الف- رده‌بندی نورماتیو اکانر (۱۹۶۵)	

عنوان	صفحة	فهرست مطالب
ب- رده‌بندی نورماتیو اشتريکايزن و لومتر(۱۹۷۹)	۹۰	
۲-۲- طبقه‌بندی شيميايي	۹۲	
الف- طبقه‌بندی کاکس و همکاران(۱۹۷۹)	۹۲	
ب- طبقه‌بندی دولاروش و همکاران (۱۹۸۰)	۹۳	
ج- طبقه‌بندی شيميايي دبون و لوفور (۱۹۸۳)	۹۴	
د- طبقه‌بندی شيميايي ميدلموست (۱۹۸۵)	۹۶	
۵- طبقه‌بندی شيميايي TAS ميدلموست (۱۹۹۴)	۹۶	
۳-۵- کاربرد نتایج تجزیه شيميايي در بررسی روندهای تغییرات	۹۸	
۳-۵- نمودارهای درصد اكسید- درصد سیلیس (هارکر، ۱۹۰۹)	۹۸	
۲-۳-۵- کاربرد نتایج عناصر کمیاب در بررسی روندهای تغییرات	۱۰۳	
الف- نمودارهای تغییرات عناصر کمیاب در مقابل تغییرات سیلیس	۱۰۴	
ب- تغییرات عناصر کمیاب در برابر عناصر اصلی و کمیاب دیگر	۱۰۷	
ج- نمودارهای عنکبوتی	۱۰۷	
۴-۵- پترولوژی	۱۱۲	
۱-۴-۵- سری‌های ماگمايی	۱۱۲	
الف- نمودار $\text{Na}_2\text{O} + \text{K}_2\text{O}$ در مقابل SiO_2	۱۱۲	
ب- نمودار K_2O در برابر SiO_2 (ريکوود، ۱۹۸۹)	۱۱۲	
ج- نمودار سيلوستر (۱۹۸۹)	۱۱۳	
۲-۴-۵- درجه اشباع آلومین (ASI) نمونه‌های مورد مطالعه	۱۱۴	
الف- نمودار A/CNK-SiO ₂ (چاپل و وايت، ۱۹۷۴)	۱۱۵	
ب- نمودار A/CNK-A/NK (مانیار و پیکولی، ۱۹۸۹)	۱۱۶	
۵- خلاصه مطالب فصل پنجم	۱۱۷	
فصل ششم- پتروژنز		
۱-۶- مقدمه	۱۲۱	
۲-۶- ويژگی‌های گرانیت‌های نوع S و I	۱۲۳	
۳-۶- تعیین خاستگاه ماگمايی گرانیت‌های منطقه مورد مطالعه	۱۲۳	
الف- نمودار SiO ₂ - A/CNK (چاپل و وايت، ۱۹۸۳)	۱۲۳	
ب- نمودارهای والن و همکاران (۱۹۸۷)	۱۲۵	
ج- نمودار Na ₂ O-K ₂ O (چاپل و وايت، ۲۰۰۱)	۱۲۵	
د- نمودار ويلاسکا و همکاران (۱۹۹۸)	۱۲۷	
۴- تشخیص مدل پتروژنتیکی مؤثر در تشکیل توده‌های مورد مطالعه	۱۲۸	
۵- رده‌بندی گرانیت‌هایها بر اساس محیط تکتونیکی	۱۲۹	

صفحه	فهرست مطالب	عنوان
۱۳۲	۶-۶- نمودارهای متمايز کننده محیط تکتونیکی انواع گرانیت‌وئیدها
۱۳۲	۱-۶- نمودارهای مانیار و پیکولی (۱۹۸۹).....
۱۳۷	۶-۲- نمودارهای تمایزی پیرس و همکاران (۱۹۸۴).....
۱۳۸Rb-(Y+Nb) و Rb-(Yb+Ta)	- نمودار تمایزی گرانیتها بر اساس تغییرات
۱۳۸Ta- Yb و Nb-Y	- نمودار تمایزی گرانیتها بر اساس تغییرات
۱۴۰	۷-۶- الگوی جایگزینی توده‌های گرانیت‌وئیدی جنوب غرب میامی
۱۴۳	۸-۶- خلاصه مطالب فصل ششم
۱۴۵	فصل هفتم - نتایج و پیشنهادات.....
۱۴۹	منابع.....

عنوان	صفحة
فهرست اشکال	
..... شکل ۱-۱-الف: نقشه تقسیمات استانی ایران و موقعیت منطقه مورد مطالعه بر روی آن	۳
..... شکل ۱-۱-ب: تصویر ماهواره‌ای منطقه مورد مطالعه و موقعیت آن نسبت به شهرهای اطراف.	۴
..... شکل ۱-۲: نقشه راههای ارتباطی منطقه مورد مطالعه	۵
..... شکل ۱-۲: نقشه واحدهای رسوی - ساختاری ایران و موقعیت منطقه مورد مطالعه بر روی آن	۱۶
..... شکل ۲-۲-الف: پراکندگی سنگهای گرانیتی‌یدی به سن ژوراسیک در منطقه مورد مطالعه و مناطق جاور آن (تلفیقی از نقشه‌های ۱:۱۰۰۰۰۰ میامی، بسطام، رزوه و دره دائی).	۱۷
..... شکل ۲-۲-ب: بخشی از نقشه زمین شناسی ۱:۱۰۰۰۰۰ میامی (امینی و همکاران، ۱۳۷۷) و موقعیت توده‌های مورد مطالعه بر روی آن.	۱۸
..... شکل ۲-۳: تناوب شیل و ماسه سنگ ژوراسیک و چین خورده‌گی آن، در اطراف محمدآباد.	۲۰
..... شکل ۲-۴: تناوب شیل و ماسه سنگ در شرق کلاته اسد.	۲۰
..... شکل ۲-۵: رخنمون صحرایی کنگلومرای ریزدانه در غرب کلاته اسد.	۲۰
..... شکل ۲-۶: وجود شیلهای زغالی در رسوبات ژوراسیک منطقه، جنوب غرب میامی	۲۱
..... شکل ۲-۷: رخنمون صحرایی واحد کنگلومرایی حاوی قطعات فراوانی از گرانیتهای منطقه، شرق کلاته اسد	۲۳
..... شکل ۲-۸: قطعات گرد شده گرانیت به سن ژوراسیک در واحد کنگلومرایی قاعده سازند سنگستان، شرق کلاته اسد.	۲۳
..... شکل ۲-۹: نمای نزدیکی از واحد کنگلومرایی حاوی قطعات گرانیت و ماسه سنگ، شرق کلاته اسد.	۲۳
..... شکل ۲-۱۰: بین لایه ماسه سنگی در واحد کنگلومرایی سنگستان به سن کرتاسه پیشین، شرق کلاته اسد.	۲۴
..... شکل ۲-۱۱: مرز بین واحد کنگلومرایی با گرانیتهای منطقه مورد مطالعه از نوع ناپیوستگی آذربین‌پی، شرق کلاته اسد.	۲۴
..... شکل ۲-۱۲: روراندگی بین واحدهای رسوی ژوراسیک و آهکهای کرتاسه در ارتفاعات جنوب غرب میامی.	۲۶
..... شکل ۲-۱۳: روستاهای محدوده بر روی رسوبات مخروط افکنه‌ای و در دامنه کوهها قرار گرفته است.	۲۷
..... شکل ۲-۱۴: آبرفت‌های رودخانه‌ای عهد حاضر ناشی از وقوع سیلابهای فصلی و رودخانه‌های محلی در منطقه میامی.	۲۷
..... شکل ۲-۱۵: تصویر ماهواره‌ای منطقه و موقعیت توده‌های مورد مطالعه بر روی آن	۲۷
..... شکل ۲-۱۶: رخنمون گرانیتهای مورد مطالعه در ارتفاعات جنوب غرب میامی	۲۹
..... شکل ۲-۱۷: نمایی از نمونه دستی گرانیت‌یدهای منطقه مورد مطالعه	۲۹
..... شکل ۲-۱۸: رخنمون توده گرانیتی و نفوذ دایکهای مافیک در آن، غرب کلاته اسد	۳۱
..... شکل ۲-۱۹: نفوذ دایکهای میکرودیوریتی به موازات هم در گرانیتهای منطقه	۳۱
..... شکل ۲-۲۰: رخنمون سنگهای میلونیتی در حاشیه توده گرانیتی، جنوب غرب میامی	۳۳
..... شکل ۲-۲۱: نمایی از نمونه‌های دستی سنگهای میلونیتی دارای لایه‌بندی و کوارتزهای گلبوی شکل در سطح آنها.	۳۴

صفحه	عنوان
	فهرست اشکال
۳۴	شکل ۲-۲: آثار کلیواژ ریزچین در میلونیتهای دگرشكل یافته جنوب غرب میامی
۳۵	شکل ۲-۳-۲: رخنمون گرانودیوریت های فرسایش یافته در غرب روستای قدس
۳۶	شکل ۲-۴-۲: نمایی از توده نیمه عمیق داسیتی، ارتقاعات جنوب غرب میامی
۳۶	شکل ۲-۵-۲: دگرسانی آرزیلیتی در توده داسیتی، جنوب غرب میامی
۳۹	شکل ۲-۶-۲: تصویر ماهواره‌ای منطقه و موقعیت گسل میامی بر روی آن
۴۰	شکل ۲-۷-۲: چین خوردگی واحد های شیلی ژوراسیک در غرب روستای محمد آباد
۴۰	شکل ۲-۸-۲: ریز چین های موجود در آهک های مارنی ژوراسیک در جنوب روستای کلاته اسد
۴۵	شکل ۳-۱: ساب گرین شدن در کوارتز
۴۶	شکل ۳-۲-۳-الف : حاشیه های تحلیل رفته و دگرسانی شدید در مرکز بلور پلازیوکلاز
۴۶	شکل ۳-۲-۳-ب : دگرسانی شدید و ادخال در مراکز بلورهای پلازیوکلاز
۴۶	شکل ۳-۳: بافت های پرتیتی و گرافیکی
۴۷	شکل ۳-۴: ساخت ساب ماگمای در بلور فلدسپات آلکالن
۴۷	شکل ۳-۵: تبدیل ارتوز به میکروکلین در اثر اعمال فشار و تغییر در شبکه کانی
۴۷	شکل ۳-۶: بلور پلازیوکلاز ساب اتومورف در فنوکریست فلدسپات آلکالن
۴۹	شکل ۳-۷-۳: وجود ادخال هایی از زیرکن در بیوتیت
۴۹	شکل ۳-۸-۳ : بلورهای ریز و اتومورف مسکوویت نوظهور
۵۰	شکل ۳-۹: وجود پومپلئیت به رنگ خاکستری درون بیوتیت
۵۲	شکل ۳-۱۰-۳ : حالت ساب گرین شدن کوارتز در گرانیتهای منطقه
۵۲	شکل ۳-۱۱-۳ : تبلور کوارتز در فضای بین سایر کانی ها در گرانیتهای منطقه
۵۴	شکل ۳-۱۲-۳ : حاشیه های تحلیل رفته پلازیوکلاز
۵۴	شکل ۳-۱۳ : ساخت ساب ماگمای (شکستگی پر شده با کوارتز) در پلازیوکلازها
۵۴	شکل ۳-۱۴-۳: قطعات پلازیوکلاز در فلدسپات آلکالن در گرانیتهای منطقه
۵۵	شکل ۳-۱۵-۳ : ساخت ساب ماگمای در بلور فلدسپات آلکالن
۵۵	شکل ۳-۱۶-۳ : بافت گرافیکی در گرانیتهای منطقه
۵۵	شکل ۳-۱۷-۳: دگرسانی بیوتیت به اکسید آهن و کلریت
۵۶	شکل ۳-۱۸-۳: دگرسانی شدید بلور پلازیوکلاز
۵۶	شکل ۳-۱۹-۳: ساخت میکروسکووی Pinch & Swell در گرانیتها
۵۸	شکل ۳-۲۰-۳: تشکیل کانی کوارتز در فضای بین کانی ها در گرانودیوریت های قدس
۸۵	شکل ۳-۲۱-۳: دگرسانی شدید در مراکز بلورهای پلازیوکلاز در گرانودیوریت های قدس
۵۹	شکل ۳-۲۲-۳: فلدسپات دارای ادخال و ماکل کارلسbad
۵۹	شکل ۳-۲۳-۳: هورنبلند سبز موجود در گرانودیوریت های منطقه
۶۱	شکل ۳-۲۴-۳: تشکیل مسکویت در اطراف بیوتیت به صورت نوظهور
۶۲	شکل ۳-۲۵-۳: دگرسانی شدید میکرودیوریت های منطقه
۶۲	شکل ۳-۲۶-۳: فراوانی آپاتیت، اکسید آهن و کلریت در میکرودیوریت های منطقه

صفحه	عنوان
	فهرست اشکال
۶۴ شکل ۲۷-۳: وجود کوارتز نواری در میلیونیتهای منطقه
۶۴ شکل ۲۸-۳: ماکل خمیده پلازیوکلاز در میلیونیتهای منطقه
۶۴ شکل ۲۹-۳: دندانه دار شدن حاشیه پلازیوکلاز
۶۴ شکل ۳۰-۳: دگرسانی بیوتیت در میلیونیتها به تجمعات دانه‌ریزتری مسکویت و جهت یافتنی آنها
۷۲ شکل ۱-۴- شکاف‌های میکروسکوپی ساب ماگمایی در گرانودیوریت‌ها و تونالیت‌های مو-لوئی-آندوقا، توده‌های گرانیتی بازیه و فوا در زون محوری پیرنه (بوشه و همکاران، ۱۹۹۲)
۷۵ شکل ۴-۲: ساخت میکروسکوپی نوع ماگمایی در گرانودیوریت‌های منطقه
۷۵ شکل ۴-۳: ساخت‌های میکروسکوپی نوع ساب ماگمایی در بلور فلدسپات
۷۵ شکل ۴-۴: شکستگی پر شده با کوارتز به همراه جابجایی اندکی در ماکل پلازیوکلاز
۷۵ شکل ۴-۵: ساخت ساب ماگمایی در پلازیوکلاز که به یک حوضچه کوارتزی ختم می‌شود
۷۵ شکل ۴-۶: بیوتیت پیچ و تاب خورده نشانه دگرشکلی دمای بالا در حالت جامد
۷۵ شکل ۴-۷: پلازیوکلاز خمیده نشانه دگرشکلی دمای بالا در حالت جامد
۷۸ شکل ۴-۸: خمیدگی بیوتیت ناشی از دگرشکلی در گرانیت‌های منطقه
۷۸ شکل ۴-۹: بلورهای دانه ریز کوارتز در بین ورقه‌های بیوتیت
۷۸ شکل ۱۰-۴: دندانه دار شدن حاشیه پلازیوکلاز، ناشی از تفاوت انرژی آزاد داخلی آن نسبت به کوارتز
۷۸ شکل ۱۱-۴: وجود شکستگی ساب ماگمایی در پلازیوکلاز حاوی کوارتز و بیوتیت
۷۹ شکل ۱۲-۴: ساخت ساب ماگمایی در فلدسپات آلکالن، نشانه دگرشکلی در حضور مذاب
۷۹ شکل ۱۳-۴: حالت عدسی شکل بلور فلدسپات آلکالن نشانه شدت بالای دگرشکلی
۸۰ شکل ۱۴-۴: ماکل میکروکلین در بلور ارتوز، نشانه دگرشکلی آنها در جالت جامد
۸۰ شکل ۱۵-۴: کوارتز تجدید تبلور یافته در مونزوگرانیت کمتر دگرشکل یافته
۸۰ شکل ۱۶-۴: تجدید تبلور کوارتز در گرانیت‌های دگرشکل یافته
۹۰ شکل ۱۷-۴: تجدید تبلور ایستایی در میلیونیتهای منطقه
۹۱ شکل ۱-۵: رده‌بندی نورماتیو اکانتر (۱۹۶۵)
۹۱ شکل ۲-۵: رده‌بندی نورماتیو اشتريکایزن و لومتر (۱۹۷۹)
۹۲ شکل ۳-۵: طبقه‌بندی شیمیایی کاکس و همکاران (۱۹۷۹)
۹۵ شکل ۴-۵: طبقه‌بندی شیمیایی دولاروش و همکاران (۱۹۸۰)
۹۵ شکل ۵-۵: طبقه‌بندی شیمیایی دبون و لوفور (۱۹۸۳)
۹۷ شکل ۶-۵: طبقه‌بندی شیمیایی میدلموست (۱۹۸۵)
۹۷ شکل ۷-۵: طبقه‌بندی شیمیایی TAS میدلموست (۱۹۹۴)
۱۰۲ شکل ۸-۵: تغییرات اکسیدهای عنصر اصلی در مقابل SiO_2 (نمودارهای هارکر)
۱۰۶ شکل ۹-۵: نمودارهای تغییرات برخی از عناصر کمیاب در مقابل SiO_2
۱۰۸ شکل ۱۰-۵: روند تغییرات بعضی عناصر کمیاب در برابر یکدیگر
۱۱۱ شکل ۱۱-۵: نمودار عنکبوتی چند عنصری بهنجار شده نسبت به گوشته اولیه (سان و مک دونالد، ۱۹۸۹)
۱۱۱ شکل ۱۲-۵: نمودار عنکبوتی REE بهنجار شده نسبت به کندریت (ناکامورا، ۱۹۷۴)

فهرست اشکال

عنوان	صفحه
شكل ۱۴-۵: نمودار Na_2O+K_2O در مقابل SiO_2 (ریکوود، ۱۹۸۹).	۱۱۳
شكل ۱۵: نمودار K_2O در برابر SiO_2 (ریکوود، ۱۹۸۹).	۱۱۳
شكل ۱۶-۵: نمودار سیلوستر (۱۹۸۹).	۱۱۴
شكل ۱۷-۵: نمودار $A/CNK-SiO_2$ (چاپل و وايت، ۱۹۷۴).	۱۱۵
شكل ۱۸-۵: نمودار $A/CNK-SiO_2$ (کلارک، ۱۹۹۲).	۱۱۵
شكل ۱۹-۵: نمودار $A/CNK-A/NK$ (مانیار و پیکولی، ۱۹۸۹).	۱۱۶
شكل ۲-۶: نمودار والن و همکاران (۱۹۸۳).	۱۲۵
شكل ۳-۶: نمودار $A/CNK-SiO_2$ (چاپل وايت، ۲۰۰۱).	۱۲۶
شكل ۴-۶: نمودار ویلاسکا و همکاران (۱۹۹۸).	۱۲۷
شكل ۵: نمودارهای تعیین منشاء گرانیتها (پاتینو دوس، ۱۹۹۹) و موقعیت نمونههای مورد مطالعه بر روی آنها.	۱۲۹
شكل ۶-۶: مراحل تدریجی تفکیک انواع محیط تکتونیکی سنگهای گرانیتوئیدی (مانیار و پیکولی، ۱۹۸۹).	۱۳۳
شكل ۷-۶: نمودار K_2O در برابر SiO_2 جهت تفکیک پلاژیوگرانیتهاي اقیانوسی از سایر گرانیتوئیدها(مانیار و پیکولی، ۱۹۸۹) و موقعیت نمونههای مورد مطالعه بر روی آن.	۱۳۳
شكل ۸-۶: نمودار Al_2O_3 در برابر SiO_2 جهت تفکیک گروههای I، II و III (مانیار و پیکولی، ۱۹۸۹) و موقعیت نمونههای مورد مطالعه بر روی آن.	۱۳۴
شكل ۹-۶: نمودار $FeO_t/(FeO_t+MgO)$ در برابر SiO_2 جهت تفکیک گروههای I، II و III(مانیار و پیکولی، ۱۹۸۹) و موقعیت نمونههای مورد مطالعه بر روی آن.	۱۳۵
شكل ۱۰-۶: نمودار FeO_t در برابر MgO جهت تفکیک گروههای I، II و III(مانیار و پیکولی، ۱۹۸۹) و موقعیت نمونههای مورد مطالعه بر روی آن.	۱۳۵
شكل ۱۱-۶: نمودار $CaO + MgO$ در برابر FeO_t جهت تفکیک تکتونیکی گرانیتوئیدها (مانیار و پیکولی، ۱۹۸۹) و موقعیت نمونههای مورد مطالعه بر روی آن.	۱۳۶
شكل ۱۲-۶ - الف تا د: نمودارهای تمایزی تفکیک سنگ های گرانیتوئیدی (پیرس و همکاران، ۱۹۸۴) با استفاده از تغییرات عناصر کمیاب و موقعیت نمونه های مورد مطالعه بر روی آنها.	۱۳۹

فصل اول

کلیات

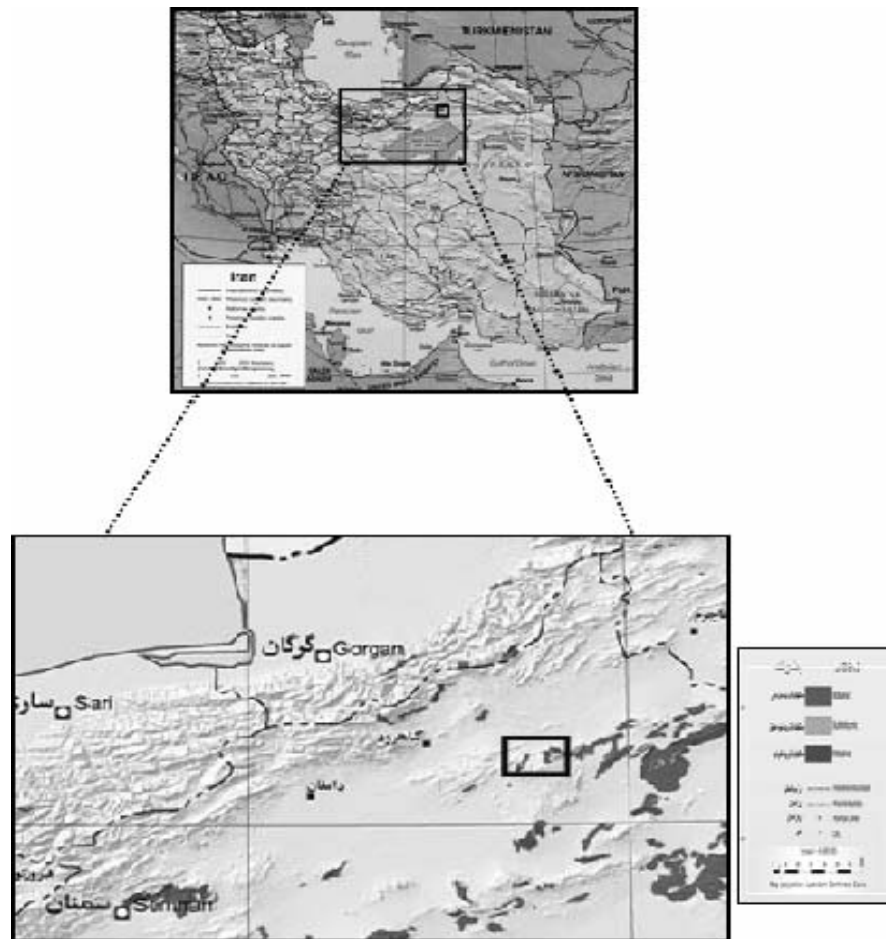
۱- مقدمه

موضوع مورد مطالعه در این تحقیق " بررسی پترولوزی و ژئوشیمی توده گرانیت‌ویتدی جنوب غرب میامی" می‌باشد. با توجه به اینکه ویژگی‌های پترولوزیکی این توده چندان مشخص نبوده و به جز تهیه نقشه‌های زمین شناسی ۱:۲۵۰۰۰ جاجرم، گزارش جامعی از ماهیت و منشاء توده مذکور ارائه نشده است، انجام یک بررسی دقیق و جامع بر روی آن لازم به نظر رسید. منطقه مورد مطالعه بخش کوچکی از انتهای شمالی زون ایران مرکزی است و در حاشیه سمت چپ نقشه ۱:۱۰۰۰۰ میامی قرار دارد. در این فصل به ارائه کلیاتی درباره منطقه مورد نظر پرداخته خواهد شد و در فصول آتی مباحث پتروگرافی، پترولوزی و پتروژئن توده مورد نظر ارائه می‌گردد.

۱-۲- موقعیت جغرافیایی و راه‌های ارتباطی

منطقه مورد مطالعه به مساحت حدود ۹۰ کیلومتر مربع در محدوده طول‌های جغرافیایی^۱ ۳۰° و ۵۵° تا^۲ ۴۰° و ۵۵° شرقی و عرض‌های جغرافیایی^۱ ۱۸° و ۳۶° تا^۲ ۲۴° و ۳۶° شمالی در ۳ کیلومتری جنوب غرب میامی و ۶۰ کیلومتری شاهروд در استان سمنان قرار دارد(شکل ۱-۱-الف،ب).

این منطقه به دلیل قرار گرفتن در نزدیکی شهر میامی و در امتداد مسیر اصلی شهرهای بزرگ دارای راه‌های دسترسی مناسبی است که مهمترین آنها مسیر اصلی تهران-مشهد(بین شهرستانهای شاهرود و سبزوار) بوده و جاده‌های خاکی روستایی و بین مراکز دامداری مانند جاده‌های کلاته‌اسد، محمد آباد و قدس نیز جهت دستیابی به منطقه بسیار مناسب هستند(شکل ۱-۲).



شکل ۱-۱-الف: نقشه تقسیمات استانی و جغرافیایی ایران و موقعیت منطقه مورد مطالعه بر روی آن

۱-۳-آب و هوا و جغرافیای انسانی

منطقه میامی به دلیل قرار گرفتن در حد فاصل مناطق کوهستانی و بیابانی دارای آب و هوای نیمه بیابانی است. تابستان‌ها گرم، خشک و بی‌باران و زمستان‌ها سرد و خشک است. متوسط درجه حرارت سالانه در این شهر $17/5$ درجه است. حداقل درجه حرارت گاهی به 38 و حداقل آن به -8 درجه می‌رسد. میانگین بارندگی سالانه شهر میامی کمتر از 150 میلی متر در سال است که قسمت اعظم آن در زمستان و بهار می‌بارد (پایگاه اداره هواشناسی استان سمنان). از آنجا که منطقه مورد مطالعه مرتفع و کوهستانی است، به طور معمول آب و هوای سردتر و میزان بارندگی بیشتری نسبت به شهر